

東京工業大学 工学部 正員 日野幹雄

1. はじめに、著者はさきに降雨一流出現象を線型定常確率過程と考へて、一般化された unit hydrograph の数式表示を導き、その意味を明らかにした。このように考へ方では、上記の仮定があつてはまる場合にはさきわめて合理的に unit hydrograph を導きうる。(しかし多くの場合降雨一流出現象は非線型の応答系として取扱うのが自然であり) 上述の考へ方になんらかの方法で非線型性を加味する必要がある。前報においては、そのうちの簡単な二つの方法について述べたが、こゝではこれをさらに吟味してみたい。もちろん、現象を直接非線型系として Wiener-Kernite 展開による振関数として取扱うことも可能であつたが、この方法はかなり複雑な上に、実際の演算において必ずしも高い非線型性まで入れられるとは限らない。

2. 降雨一流出の非線型性の検討：一般に 2 つの現象の相関を調べるのに、相互相関およびその Fourier 変換である cross-spectrum $\Phi_{\text{int}}(\omega) = C(\omega) + iQ(\omega)$ を求める。その際 2 つの現象の線型応答性を調べるには、前報(2)において述べたように coherence γ

$$\gamma = [|\Phi_{\text{int}}|^2 / \Phi_{ii} \Phi_{qq}]^{1/2} = \sqrt{[C^2(\omega) + Q^2(\omega)] / [\Phi_{ii}(\omega) \Phi_{qq}(\omega)]} \quad (1)$$

が、よりあるか否かを調べれば良い。これは $C(\omega)$, $Q(\omega)$ はそれぞれ cross spectrum $\Phi_{\text{int}}(\omega)$ の実数部と虚数部で co-spectrum, quadrature-spectrum と呼ばれる。神流川の水文資料について、これ在3年毎の 9 ループに分けて coherence を求めてみると、その一例は Fig. 1 のようになる。これによれば、長周期の流出とそれまで短周期の流出との線型性はかなり良いが、中間周期の流出については線型性が極めて悪いことが明

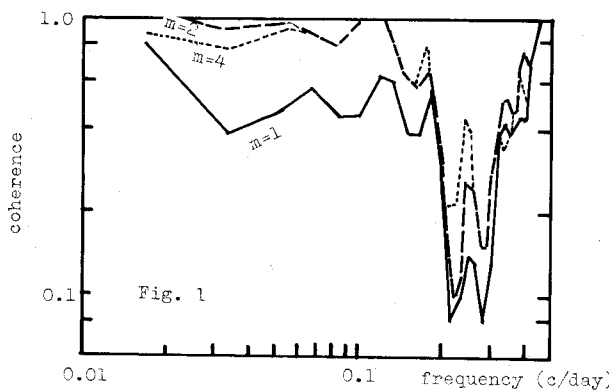


Fig. 1

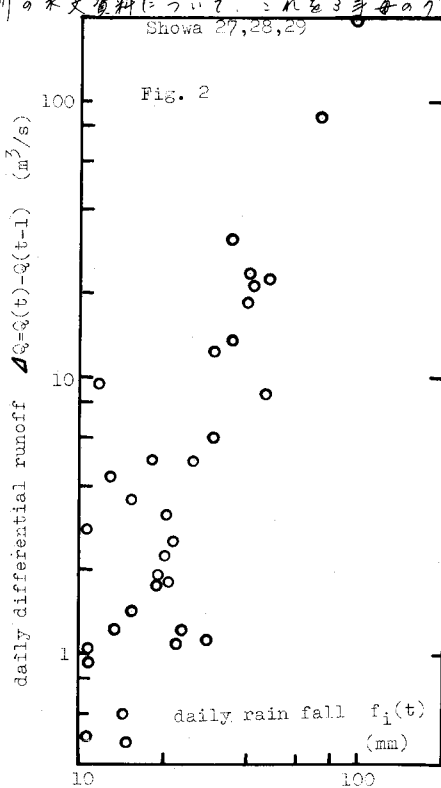


Fig. 2

らかである。このことは流出現象の特徴——つまり降雨は表面流と地下への滲透という2つのはつきり異なる流出機構よりなることを明瞭に示している。

3. 非線型変換法の導入：さて、降雨 $f_i(t)$ と流出 $f_o(t)$ をそれぞれ次のようには變換し。

$$\begin{aligned} f'_i(t) &= [f_i(t)]^m \\ f'_o(t) &= [f_o(t)]^n \end{aligned} \quad (2)$$

f'_i と f'_o ($n=1$) との間の線型性を coherence により調べてみた結果が同じく図-1 に記入されている。これによれば、 $m=2$ という變換により2つの現象の線型性が遠かに良くなることがわかる。ところで、こうした傾向は今までの水文資料からある程度知ることができる。強い降雨があり、しかもそれに先立つて数日間降雨がない場合に、その降雨による流出量と先行流量の差の関係を対数グラフで見ると図-2 のようになる ($f_o(t) \propto f'_i(t)$ ($m=2$) となる式(2)) が、 $m=2$ ($n=1$) とが強い相互相關を示すと良く対応している。

4. 非線型變換による流出の予測：降雨の自己相關 $g_{ii}(T)$ および降雨流出の相互相關 $g_{oi}(T)$ とすこしあり、実際の流出量と予測値の差の2乗平均を最小化すれば Wiener-Kalmanov criteria における最適予測関数 h_{opt} は次の Wiener-Hopf 方程式

$$g_{oi}(T+\alpha) = \int_{-\infty}^{\infty} h_{opt}(\tau, \alpha) g_{ii}(T-\tau) d\tau \quad (3)$$

の解で与えられる。 g_{ii}, g_{oi} を次のようにな書きて表わすと。

$$\begin{aligned} g_{ii}(T) &= \alpha e^{-\beta|T|} \\ g_{oi}(T) &= \sum_k g_{oi}^{(k)}(T) \\ g_{oi}^{(k)}(T) &= \begin{cases} A_{1k}(\beta-T)^{-\alpha} \exp\{+\alpha g_{ii}(T-\beta)\} & (T < \beta) \\ A_{2k}(\beta-T)^{-\alpha} \exp\{-\alpha g_{ii}(T-\beta)\} & (T \geq \beta) \end{cases} \end{aligned} \quad (4)$$

式(3)の解、 $h_{opt}(T)$ は有効に α によって導いたようだ式(6)のようになる。

$$h_{opt}(\tau, \alpha) = \begin{cases} 0 & (\tau < 0) \\ \frac{1}{K} \sum_k \left(-\frac{g_{oi}^{(k)}}{g_{ii}} \right) g_{oi}^{(k)}(\tau + \alpha) & (\tau \geq 0) \end{cases} \quad (5)$$

ここで $K = \int_{-\infty}^{\infty} g_{ii}(T) dT = 2\alpha/\beta$ である。 g_{ii}, g_{oi} は降雨、流出に式(2)のよる非線型變換を施したものとの相關を考えれば、前報の理論にわずかの修正を付けて、降雨一流出現象の非線型性を考慮した予測が可能である。図-3 はこの様に(1)非線型予測を行った場合の予測誤差の2乗平均 $[(f_o(t) - f'_o(t))^2]$ のスペクトルを示したもので、變換式(2)による予測精度が非常に増加したことである。

1) “情報理論的水文学への序説”，東京工業大学 土木工学科 研究報告 No.4

2) “情報理論的水文学の一手法”，第12回水理講演会講演集

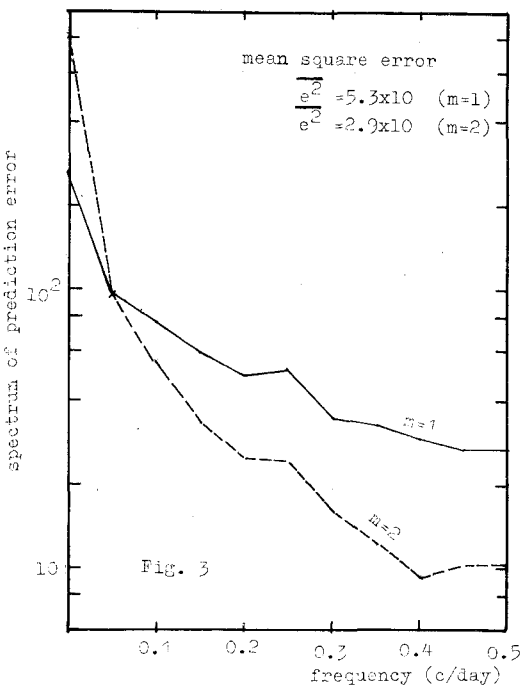


FIG. 3

frequency (c/day)